

Министерство высшего и среднего специального образования
Р С Ф С Р

Горьковский ордена Трудового Красного Знамени
научно-исследовательский радиофизический институт (НИРФИ)

Препринт № 286

ВОЛНОВЫЕ ВОЗМУЩЕНИЯ
ЭЛЕКТРОННОЙ КОНЦЕНТРАЦИИ ОБЛАСТИ F
В ПЕРИОД 16-20 МАРТА 1986 Г.

Мишин Е.В.
Епишова А.В.
Ишкова Л.М.
Ковалевская Е.М.
Козлов Е.Ф.
Колоколов Л.Е.
Митякова Э.Е.
Рахлин А.В.
Рубцов Л.Н.
Саморокин Н.И.
Сидорова Л.Н.
Телегин В.А.
Юдович Л.А.

Мишин Е.В., Ешикова А.В., Ишкова Л.М., Ковалевская Е.М.,
Козлов Е.Ф., Колоколов Л.Е., Митякова Э.Е., Рахлин А.В.,
Рубцов Л.Н., Саморокин Н.И., Сидорова Л.Н., Телегин В.А.,
Юдович Л.А.

ВОЛНОВЫЕ ВОЗМУЩЕНИЯ ЭЛЕКТРОННОЙ КОНЦЕНТРАЦИИ ОБЛАСТИ F В
ПЕРИОД 16-20 МАРТА 1988 ГОДА // Препринт № 286. – Горький: НИРФИ,
1989. – 14 с.

УДК 551.510.535

Исследуется пространственно-временная структура волновых возмущений электронной концентрации области F в период прохождения утреннего терминатора с использованием пяти- и пятнадцатиминутных данных вертикального зондирования сети станций Советского Союза в период международного интервала наблюдений ионосферы (16–20 марта 1988 г.).

It was investigated the spatial-time structure of the wave disturbances of the F-region electron concentration on the period of the sun terminator passing in the morning with using of the 5- and 15-minutes data from the network of the Soviet vertical sounding stations interval of the ionospherical observations (16–20 March 1988).

С целью проведения координированных исследований ионосферы международная программа ВИТС предложила интервалы наблюдений по планетарной сети станций вертикального зондирования. Одним из координированных периодов наблюдений был период 16–20 марта 1988 г., в течение которого в Советском Союзе проводились учащенные ионосферные наблюдения.

В настоящей работе использованы данные вертикального зондирования станций Советского Союза. Список станций и их географические координаты приведены в табл. I.

Таблица I

Станция	φ° N	λ° E	Станция	φ° N	λ° E
Архангельск	64,6	40,5	Мезень	65,9	44,3
Ашхабад	37,9	58,3	Москва	55,5	37,3
Горький	56,1	58,3	Новоказалинск	45,5	62,0
Душанбе	38,6	68,8	Петропавловск-Камчатский	52,5	158,3
Карлсгоры	64,0	44,4	Ростов	47,2	39,7
Киев	50,5	30,5	Салехард	66,5	66,7
Ленинград	60,0	30,7	Свердловск	56,7	61,0
Лопарская	69,0	33,1			

За указанный период исследована пространственно/временная структура волновых возмущений электронной концентрации области F. Для этого проведена стандартная обработка 15-и 5-минутных ионограмм ВЗ. Для нескольких станций рассчитаны N(h) профили. Подробному анализу подвергнуты волновые возмущения критических частот слоя F2 ($\Delta\Phi_{10}$): проведена их спектральная обработка, рассмотрены особенности пространственного и временного распределения спектральных характеристик. В восходный период получены количественные оценки амплитуд волновых

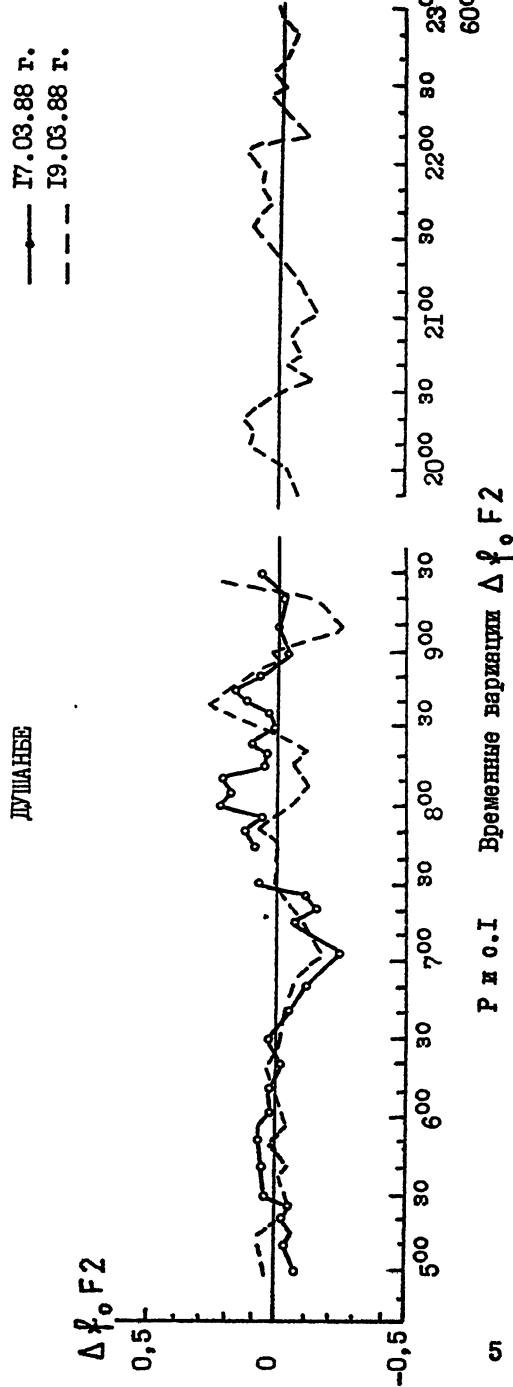
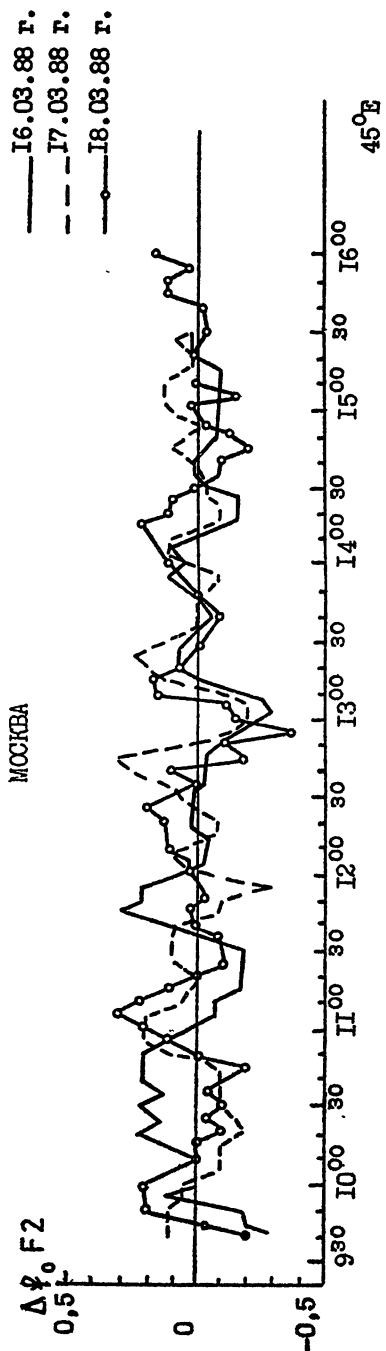
I. Характеристика спектров волновых возмущений

Для выявления возмущенных составляющих критических частот слоя F₂ вычислены значения $\Delta f_0 = (f_0 F2 - \bar{f}_0 F2)$, где $\bar{f}_0 F2$ - сглаженные по тринадцати пятиминутным значениям. Временные вариации Δf_0 , полученные таким способом, были подвергнуты спектральному анализу.

Для иллюстрации волновых возмущений в ионосфере в период с 16 по 20 марта по данным ст.Москва и Душанбе на рис.I приведены временные вариации Δf_0 : Москва - с 16 по 18 марта в интервале местного времени 9^h 30^m + 16^h, Душанбе - 17 и 19 марта с 5^h LT до 9^h LT и с 20^h LT до 23^h LT . На рисунках четко прослеживается я волновая структура возмущения за каждый из рассматриваемых дней ; однако характер возмущений Δf_0 сильно меняется ото дня ко дню. Максимальный размах колебаний Δf_0 за рассматриваемый интервал времени достигает 0,5 МГц, в этом случае $\Delta f_0 / f_0$, составляет 10% . Средний период крупномасштабной вариации Δf_0 за 16-18 марта по ст. Москва составляет ~ 1 ч. 20 мин., по ст.Душанбе ~ 2 ч. 20 мин . Спектральный анализ проведен с помощью стандартной программы БПФ на ЭВМ М-4030 по данным Δf_0 станций: Москва, Горький, Петропавловск -Камчатский, Душанбе, Архангельск. До анализа реализаций отфильтровывались от трендов $f_0 F2$ с помощью полинома II порядка по методу наименьших квадратов. Полученные спектры сглаживались спектральными окнами Блэкмана-Тьюки с точкой отсечения $M = 4$. Точка отсечения выбиралась из соображений наилучшего удовлетворения следующим критериям: разрешения самой узкой интересной детали спектра, минимальности диаперии в минимальности смещения спектральных оценок от предполагаемого спектра /I/. На рисунках энергетические спектры S(k), полученные путем наложения отдельных выборочных спектров (за 19 марта и 17 марта) и отсечения их общей площади. По оси абсцисс откладываются отсчеты K, связанные с частотой и периодом соответственно: $f_k = k / N \cdot H$ и $T_K = N \cdot H / k$, где n - общее число точек реализации, H - временной интервал между точками реализации. В нашем случае $H = 5$ мин., таким образом, возможно рассматривать периоды начиная с $T \sim 2H \sim 10$ мин.

Рис. I Временные вариации $\Delta \phi_0 F_2$

51



Для утренних часов ($\sim 5\text{-}9^h LT$) по станциям Петропавловск-Камчатский, Архангельск, Душанбе, Горный спектральный анализ дал ярко выраженную широтную зависимость спектральных составляющих Δf_0 .

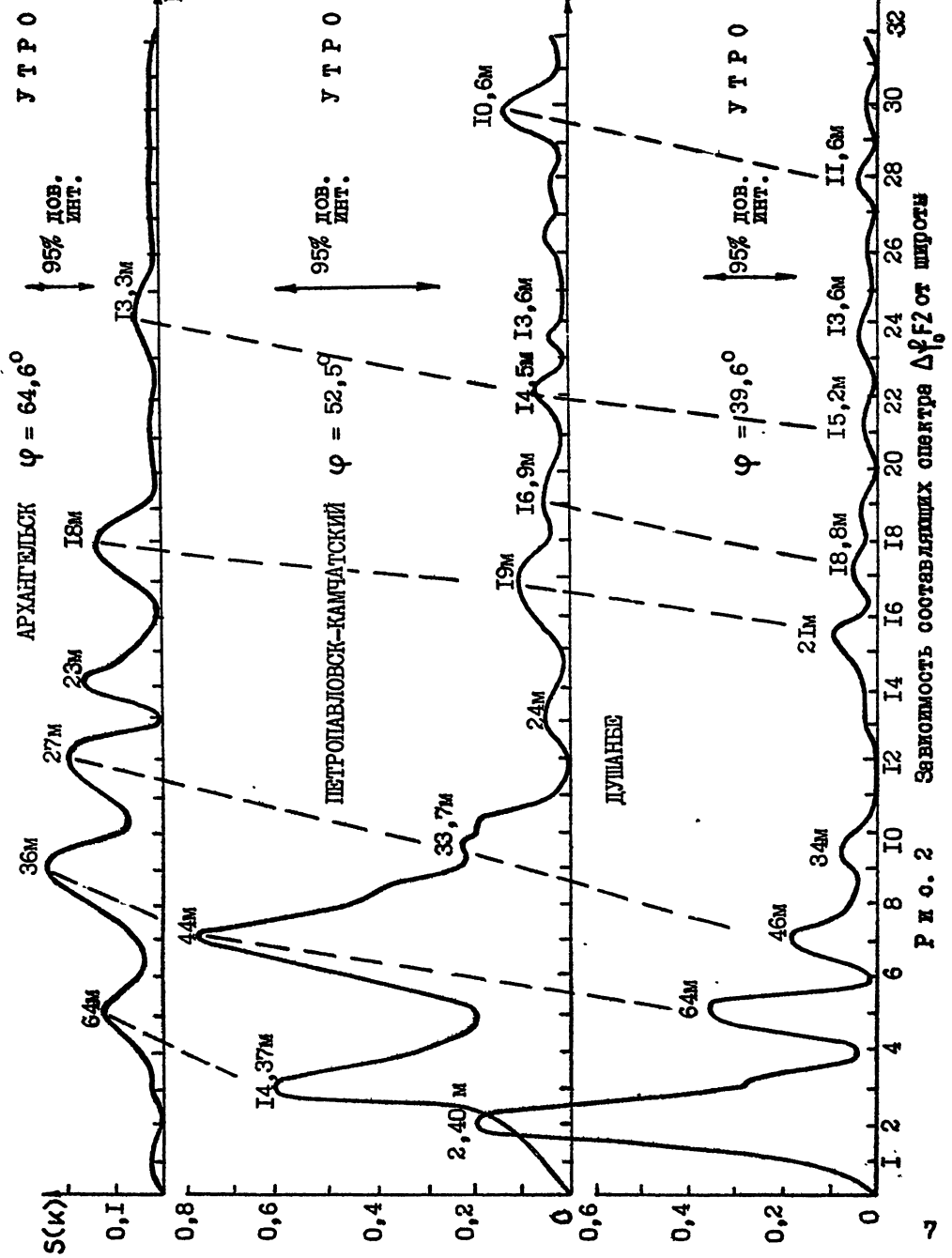
Так для Душанбе ($\varphi = 39,6^\circ$) $T_1 \sim 24.30\text{м.}$, Для Петропавловска-Камчатского ($\varphi = 52,5^\circ$) $T_1 \sim 14.37\text{м.}$, а для Архангельска ($\varphi = 64,6^\circ$) $T_1 \sim 64$ мин. Соответственно для T_2 (64, 44, 36 м), T_3 (46, 34, 27 м), T_4 (21, 19, 18 м). Из рис.3 видно, что более короткие периоды на рассматриваемых станциях также имеют подобную тенденцию к уменьшению при переходе к более высоким широтам. Но учитывая то, что разрешение по частотам Δf , соответствующим этим периодам, меньше чем $1/T$, где T - длина всей реализации (в нашем случае $T \sim 320$ мин). Анализируя полученные результаты спектрального анализа (см.рис.2), можно высказать следующие предположения:

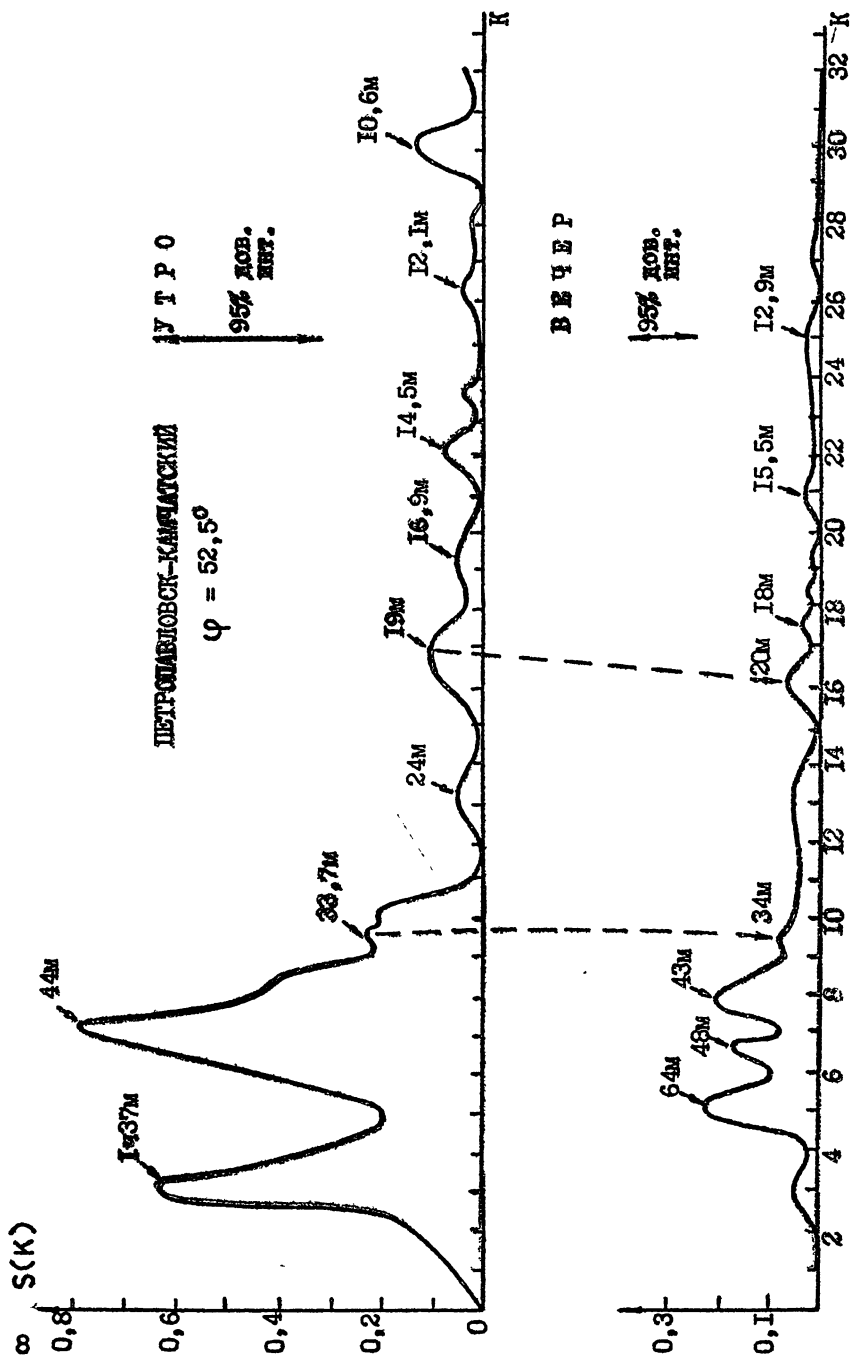
1. с увеличением широты наблюдается уменьшение периода спектральных составляющих или уход в более высокочастотную область;
2. прослеживается смещение максимумов амплитуд спектральных составляющих в более высокочастотную область по мере увеличения широты;
3. кроме того, отмечается общая тенденция уменьшения амплитуд спектральных составляющих по мере роста широты.

Для вечерних часов ($16\text{-}24^h LT$) и дневных часов ($9\text{-}19^h LT$) по станциям Петропавловск-Камчатский и Душанбе наблюдается сдвиг некоторых спектральных составляющих в низкочастотную область. На рис. 3 представлены для сравнения результаты спектрального анализа по ст.Петропавловск-Камчатский в утренние и вечерние часы. Так наиболее четко идентифицированы периоды $T_3 \sim (33,7; 34\text{ м})$, $T_4 \sim (19; 20\text{ м})$, соответственно. Более короткие периоды, к сожалению, не могут быть идентифицированы в силу того, что $\Delta f < 1/T$. Это подтверждает гипотезу о том, что наиболее сильные эффекты прохождения термиатора имеют место в восходные часы /2/.

2. Направление перемещения волновых возмущений

Направления перемещения крупномасштабного возмущения критической частоты слоя F2 (Δf_0) выявлены в результате анализа





Р и с.3 Спектральная плотность $\Delta f_0 F_2$ по данным с р.Петропавловск-Камчатский

временного распределения Δf и географического в полосе долгот 30–70°E и широт 40–70°. Величины Δf_0 получены по 15-минутным данным станций ВЗ из приведенного выше списка. Изучение проведено для 16 марта, когда имело место магнитно-ионосферное возмущение и для спокойного для 19 марта ($\sum K_p = 9$); 16 марта $\sum K_p = 22$, при этом в интервале от 0 до 12^h UT /3-часовые K_p – индексы были равны четырем. Выбраны периоды мирового времени 5^h UT (что соответствует местному времени от 7 до 10 часов в данной полосе долгот) и 10^h UT (от 12 до 15^h LT). Для этих периодов построены карты географического распределения равных значений Δf_0 . Кarta приведена на рис. 4. Сплошной линией нанесены изолинии равных значений Δf_0 для 19 марта, пунктирной – для 16 марта.

При построении карт использовались дополнительные данные Δf_0 , полученные в результате пространственного разнесения суточного хода $f_0 F_2$ станции вдоль геомагнитной широты в пределах ~ 500 км.

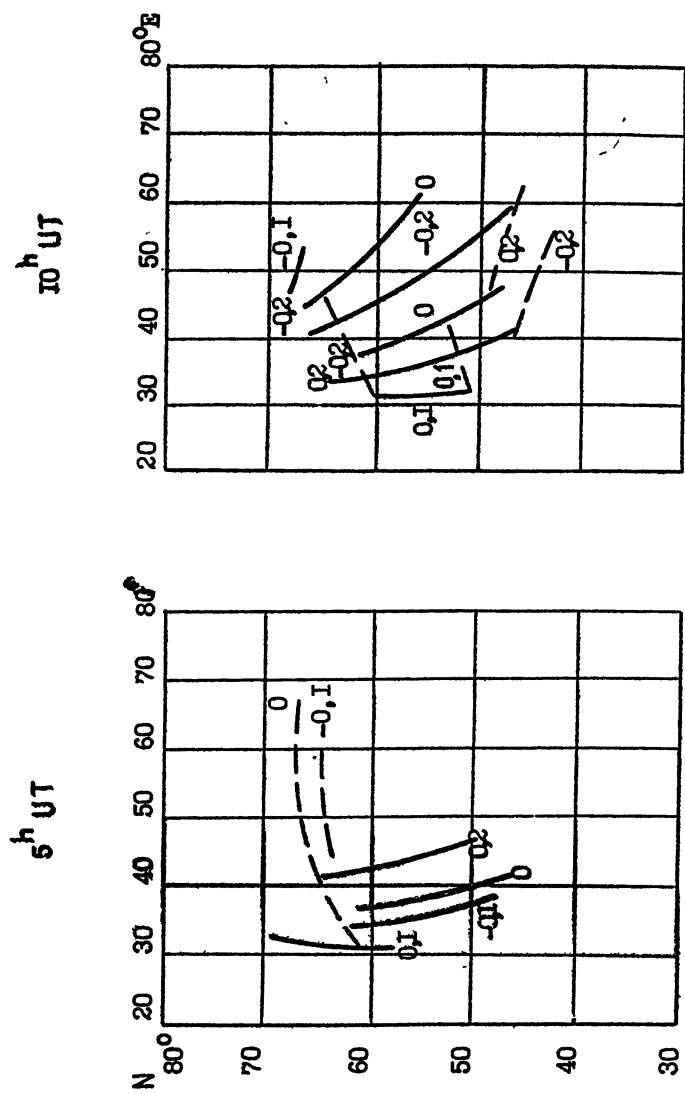
Анализ географического и временного распределения равных амплитуд Δf_0 16 и 19 марта указал на различия в направлениях перемещения Δf_0 , обусловленных геофизической обстановкой.

16 марта в 5^h UT в северных широтах перемещение возмущений Δf_0 происходило в направлении с севера на юг. На широтах выше 60° выделить преимущественное направление возмущения оказалось затруднительным. В 10^h UT 16 марта в северных широтах направление перемещения Δf_0 сохранилось, а в полосе широт от 50 до 40° произошло смещение к юго-западному.

19 марта в 5^h UT, в моменты времени близкие к восходному, направление преимущественно восточно-западное. С увеличением времени от момента восхода (10^h UT) направление смещалось к юго-западному.

Полученные результаты дают основание сделать заключение, что 16 марта на северных широтах крупномасштабное возмущение в слое F обусловлено процессами в авроральной ионосфере, связанными с магнитосферными возмущениями. 19 марта возмущение в слое F в утренние часы можно считать связанными с движением терминатора. В это время наблюдается совпадение направления перемещения возмущения с движением терминатора.

Р и с. 4 Изолинии разных значений $\Delta \varphi_0 F_2$



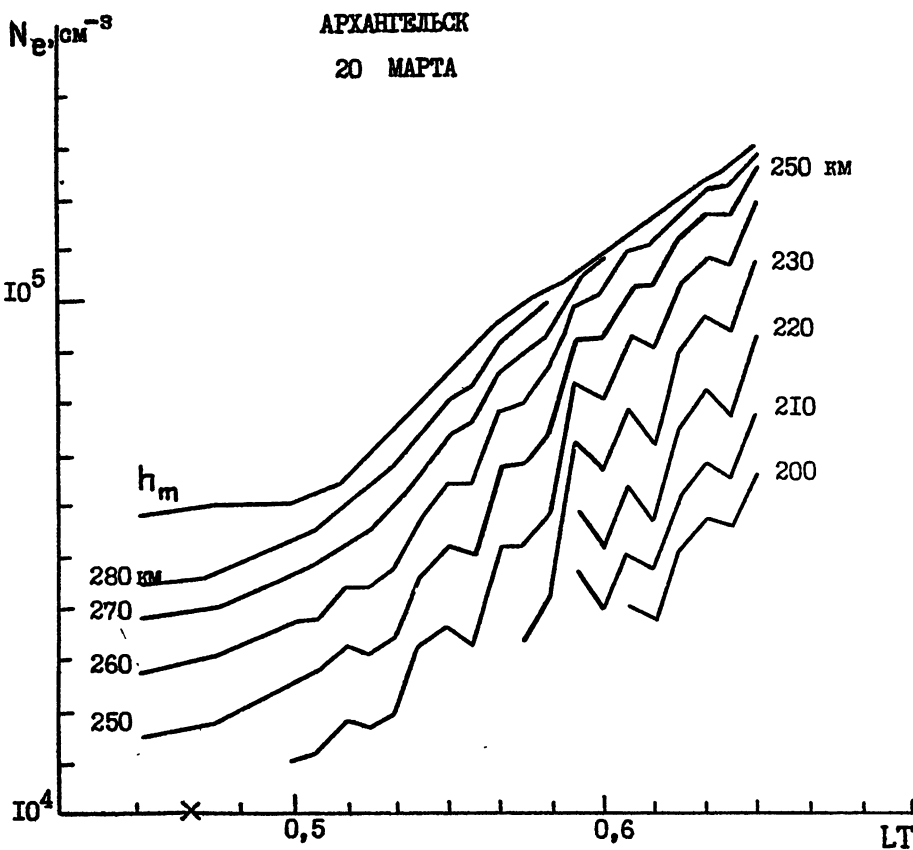
3. Волновые возмущения электронной концентрации на разных высотах области

Для изучения высотной зависимости волновых возмущений электронной концентрации (ΔN) и ее динамики проведена серия расчетов высотных профилей N . Расчеты выполнены для спокойных ионосферных условий 14 и 20 марта для утренних часов по 5-минутным данным ВЗ от. Архангельск и Мезень. По данным $N(h)$ получены временные вариации значений электронной концентрации на фиксированных высотах слоя F2 (от высоты минимального значения N до высоты максимума N), выделены возмущения составляющие ΔN способом, указанным в п. I, и рассчитаны величины $\Delta N / N$ (в %). Пример временных вариаций N на разных фиксированных высотах приведен на рис. 5. По оси отложены моменты времени, крестиками на оси отмечены моменты восхода на высоте 100 км над поверхностью Земли.

Анализу подвергнуты временные вариации ΔN и $\Delta N / N$ на разных фиксированных высотах диапазона слоя F2. В результате анализа установлены следующие особенности в характере вариаций ΔN и $\Delta N / N$.

1. Волновые возмущения ΔN на высотах слоя F2 появляются после восхода Солнца на высоте 100 км.
2. Амплитуды волновых возмущений ΔN и $\Delta N / N$ уменьшаются с ростом высоты. На высоте максимума слоя амплитуда колебаний $\Delta N / N$ не превышает 4-5%. На высотах, близких к нижней границе слоя F2, $\Delta N / N$ составляет 22-25%.
3. Во всей толще слоя F2 наблюдается увеличение периода колебаний ΔN на фиксированной высоте с увеличением временного интервала с момента появления возмущения.

Отмеченные особенности в поведении ΔN , $\Delta N / N$ подтверждаются данными рис. 6, где представлен временной ход ΔN на нескольких фиксированных высотах слоя F2 (рис. 6а) и временной ход $\Delta N / N$ (рис. 6б и 6в).



Р и с. 5 Временные вариации N
на фиксированных высотах слоя F2

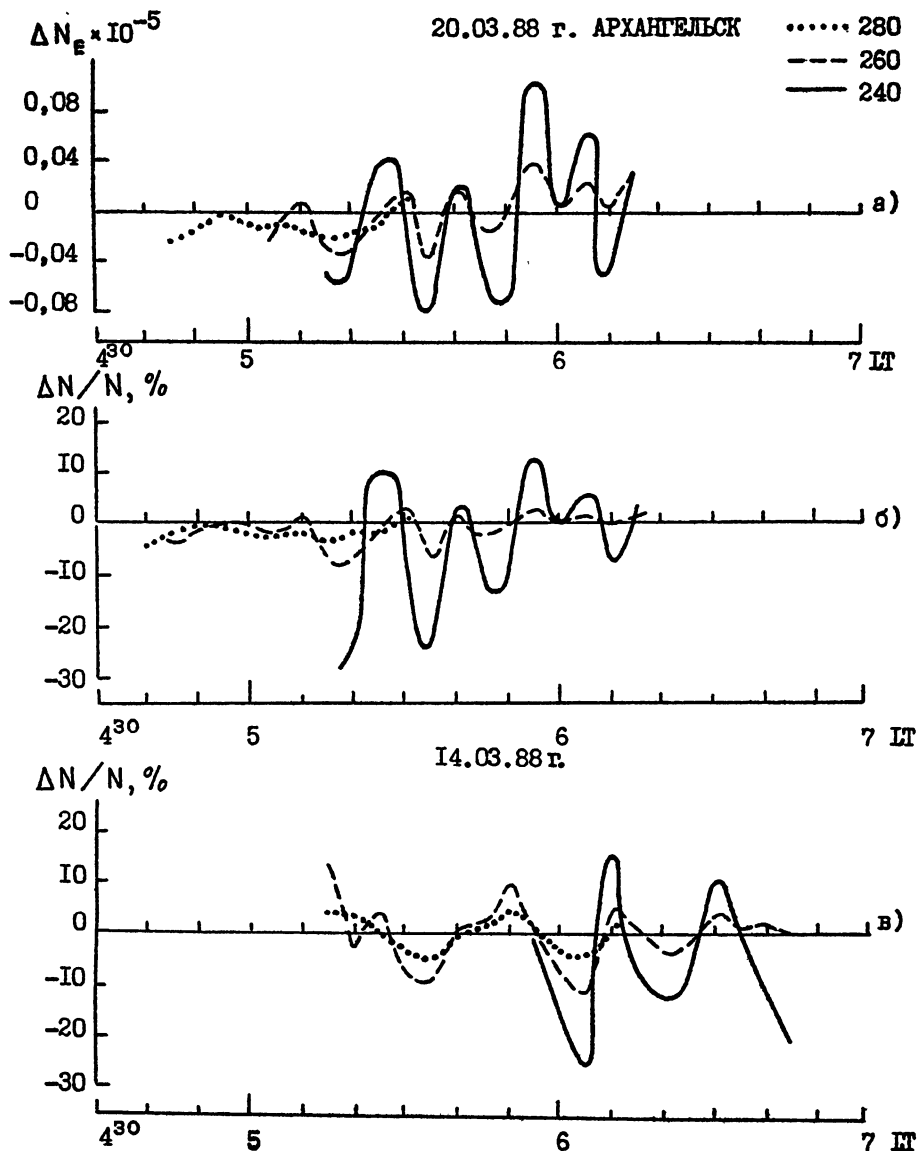


Рис.6 Временные вариации ΔN и $\Delta N/N, \%$
на фиксированных высотах слоя

З а к л ю ч е н и е

Результаты исследований, приведенные в настоящей работе, качественно согласуются с теоретическими выводами относительно солнечного терминатора как источника волновых возмущений и дают основание считать солнечный терминатор основным источником волновых возмущений электронной концентрации в период восхода в спокойных ионосферных условиях.

Л и т е р а т у р а

1. Дженнинс, Ватте. Спектральный анализ и его применение. - М. : Мир, 1971. - Т.1. - 314 с.
2. Сомоников В.М. Солнечный терминатор и динамика атмосферы. - Алма-Ата, изд. 1983. - 273 с.

Дата поступления
статьи
20 июня 1989 г.